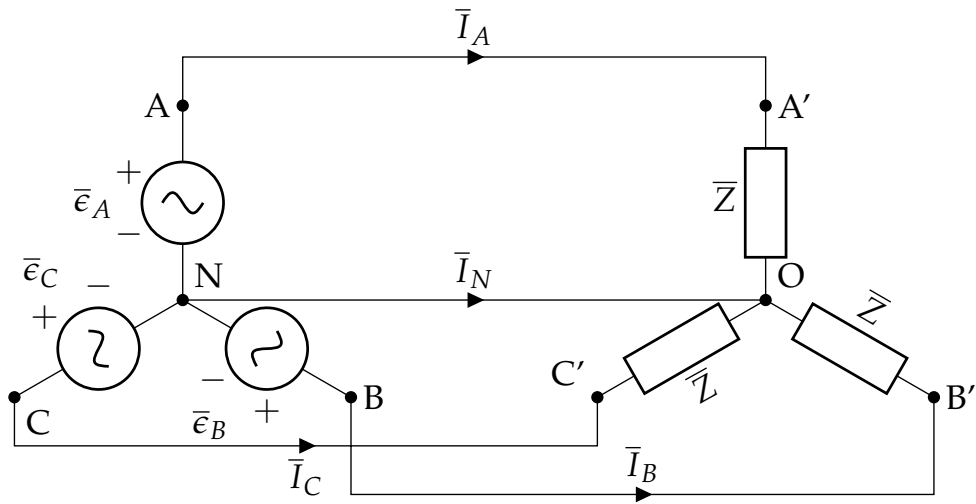


Sistemas trifásicos

Teoría de Circuitos II

Autor: Luis Badesa Bernardo

(basado en las diapositivas de Óscar Perpiñán Lamigueiro)



Motivación de los sistemas trifásicos

- ▶ En un sistema trifásico la **potencia instantánea** es **constante**, evitando vibraciones y esfuerzos en las máquinas
 - ▶ **Recordatorio:** en un sistema monofásico, la potencia instantánea es pulsante
- ▶ La **masa de conductor necesaria** en un sistema trifásico **25% inferior** que en un sistema monofásico para transportar la misma potencia

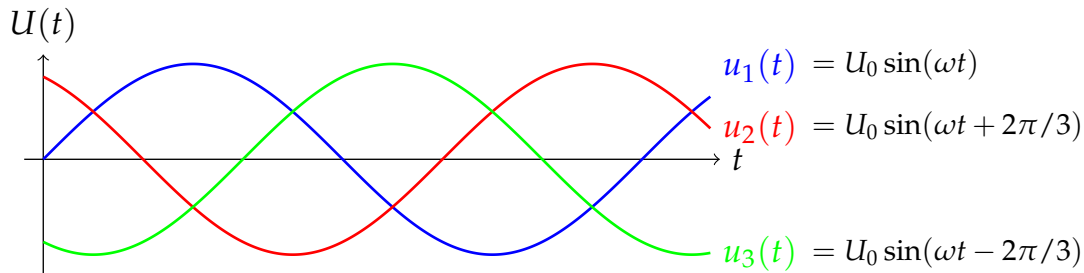
Por estas razones, se usan sistemas trifásicos en **generación, transporte y distribución de energía eléctrica**

(los sistemas monofásicos se utilizan en cargas domésticas y de baja potencia)

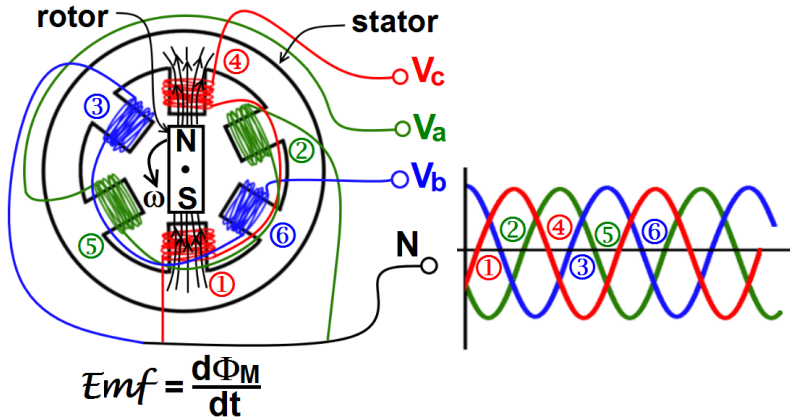
Ondas trifásicas

Para conseguir potencia constante, las ondas trifásicas deben cumplir:

- ▶ Mismo **desfase entre ellas** → el desfase debe ser de **120°**
- ▶ Igual **amplitud**



Generador trifásico



(clica en la imagen)

¿Por qué 3 fases?

¿Por qué no 2, 5 o 17?

- ▶ 2 fases

- ▶ Requiere **mayor masa de conductor** que un sistema trifásico

- ▶ Más de 3 fases

- ▶ El rendimiento de un motor o generador aumenta ligeramente con el n° de fases

Pero la leve mejoría para más de 3 fases **no justifica la mayor complejidad** del sistema (por ejemplo, las protecciones eléctricas serían bastante más complejas)

① Generadores

② Receptores

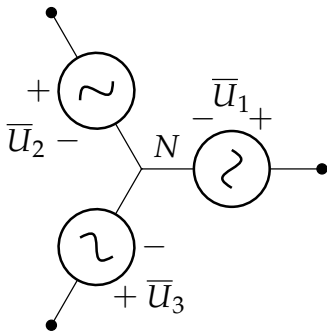
③ Potencia en sistemas trifásicos

④ Conversión de fuentes reales

⑤ Estudio generalizado de los sistemas trifásicos

Conexión

- Punto común de la conexión estrella \rightarrow **neutro**, N
- Potencial de N se toma como **referencia**



$$u_1(t) = U_0 \sin(\omega t)$$

$$u_2(t) = U_0 \sin(\omega t + 2\pi/3)$$

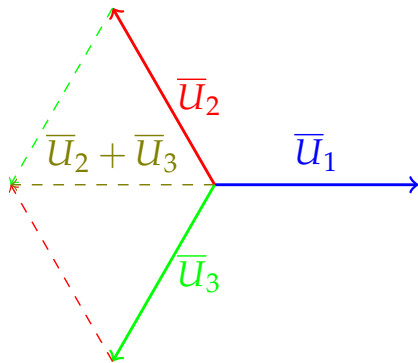
$$u_3(t) = U_0 \sin(\omega t - 2\pi/3)$$

$$\bar{U}_1 = U/0$$

$$\bar{U}_2 = U/2\pi/3$$

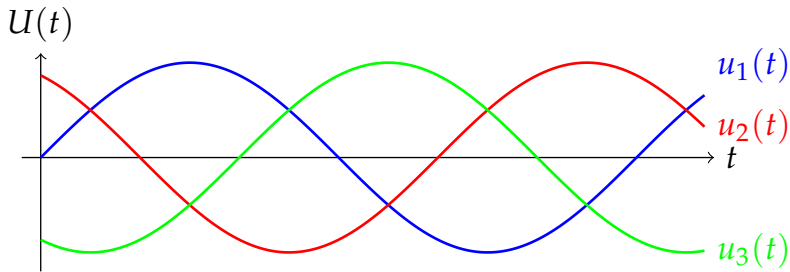
$$\bar{U}_3 = U/-2\pi/3$$

Las tensiones suman 0



$$\bar{U}_1 + \bar{U}_2 + \bar{U}_3 = 0$$

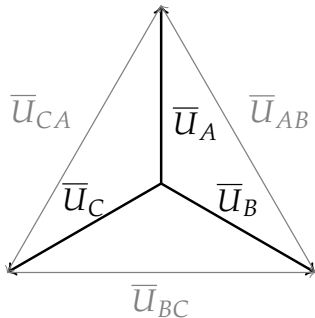
Las tensiones suman 0



$$u_1(t) + u_2(t) + u_3(t) = 0$$

(esto no quiere decir que una carga vaya a estar sometida constantemente a 0 V, porque **ninguna carga** va a estar **sometida a las 3 tensiones** de fase a la vez)

Tensiones de fase y de línea



- Tensiones de **fase**: $U_A, U_B, U_C \equiv U_f$
(o tensiones **simples**, entre fase y neutro)
- Tensiones de **línea**: $U_{AB}, U_{BC}, U_{CA} \equiv U_L$
(o tensiones **compuestas**, entre dos conductores de línea)

$$\bar{U}_{AB} = \bar{U}_A - \bar{U}_B$$

$$\bar{U}_{BC} = \bar{U}_B - \bar{U}_C$$

$$\bar{U}_{CA} = \bar{U}_C - \bar{U}_A$$

$$\bar{U}_{AB} + \bar{U}_{BC} + \bar{U}_{CA} = 0$$

Relación entre tensiones de fase y de línea

$$\bar{U}_A = U_f / \theta_f$$

$$\bar{U}_B = U_f / \theta_f - 120^\circ$$

$$\bar{U}_{AB} = \bar{U}_A - \bar{U}_B =$$

$$-\bar{A} = A / \theta + 180^\circ$$

$$= U_f / \theta_f - U_f / \theta_f - 120^\circ =$$

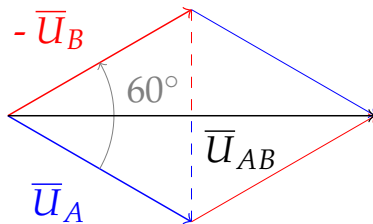
ver gráfico

$$= U_f / \theta_f + U_f / \theta_f + 60^\circ =$$

$$\cos(30^\circ) = \sqrt{3}/2$$

$$= 2 \cdot U_f \cdot \cos(30^\circ) / \theta_f + 30^\circ =$$

$$= \sqrt{3} U_f / \theta_f + 30^\circ$$



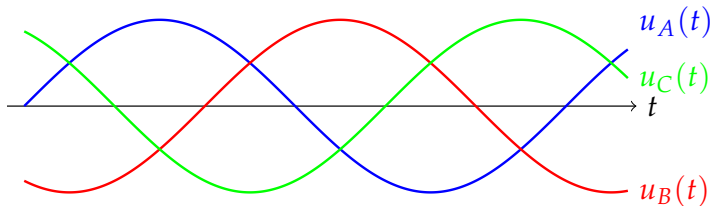
$$U_L = \sqrt{3} \cdot U_f$$

$$\theta_L = \theta_f + 30^\circ$$

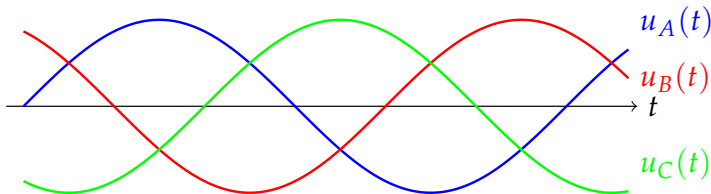
Secuencia de fases

Orden en que ocurren los máximos de cada fase

- Secuencia de Fases Directa (**SFD**): ABC

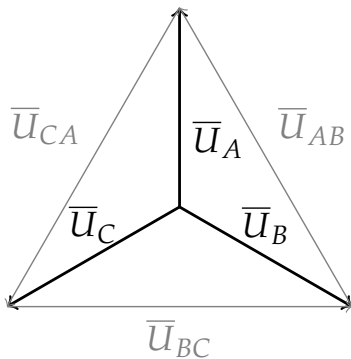


- Secuencia de Fases Inversa (**SFI**): ACB



Secuencia de Fases Directa (SFD)

Por **convención**, se usa siempre esta **referencia** de fases (memorizad este triángulo):



$$\bar{U}_A = U_f \angle \underline{90^\circ}$$

$$\bar{U}_B = U_f \angle \underline{-30^\circ}$$

$$\bar{U}_C = U_f \angle \underline{-150^\circ}$$

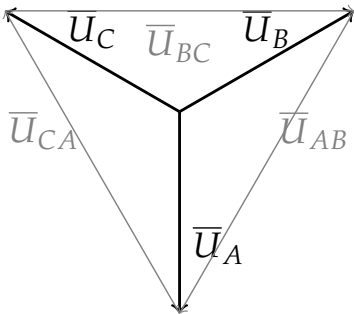
$$\bar{U}_{AB} = U_L \angle \underline{120^\circ}$$

$$\bar{U}_{BC} = U_L \angle \underline{0^\circ}$$

$$\bar{U}_{CA} = U_L \angle \underline{-120^\circ}$$

Secuencia de Fases Inversa (SFI)

Por **convención**, se usa siempre esta **referencia** de fases (memorizad este triángulo):



$$\bar{U}_A = U_f \angle -90^\circ$$

$$\bar{U}_B = U_f \angle 30^\circ$$

$$\bar{U}_C = U_f \angle 150^\circ$$

$$\bar{U}_{AB} = U_L \angle -120^\circ$$

$$\bar{U}_{BC} = U_L \angle 0^\circ$$

$$\bar{U}_{CA} = U_L \angle 120^\circ$$

① Generadores

② Receptores

③ Potencia en sistemas trifásicos

④ Conversión de fuentes reales

⑤ Estudio generalizado de los sistemas trifásicos

Tipos de receptor

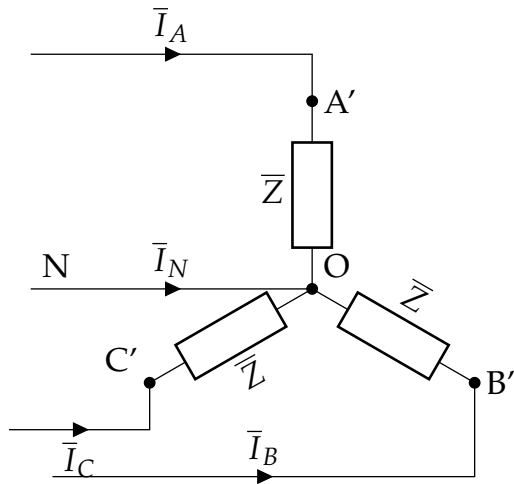
Según su **conexión**

- ▶ **Estrella** (punto común)
- ▶ **Triángulo**

Según sus **impedancias**

- ▶ **Equilibrado** (las tres impedancias son idénticas en módulo y fase)
- ▶ **Desequilibrado**

Receptor en estrella equilibrado, con neutro



$$\bar{I}_A = \frac{\bar{U}_A}{\bar{Z}} = \frac{U_f}{Z} \angle \pm 90^\circ - \theta$$

$$\bar{I}_B = \frac{\bar{U}_B}{\bar{Z}} = \frac{U_f}{Z} \angle \mp 30^\circ - \theta$$

$$\bar{I}_C = \frac{\bar{U}_C}{\bar{Z}} = \frac{U_f}{Z} \angle \mp 150^\circ - \theta$$

(signo de arriba
para **SFD**,
signo de abajo
para **SFI**)

$$I_A = I_B = I_C = \frac{U_f}{Z}$$

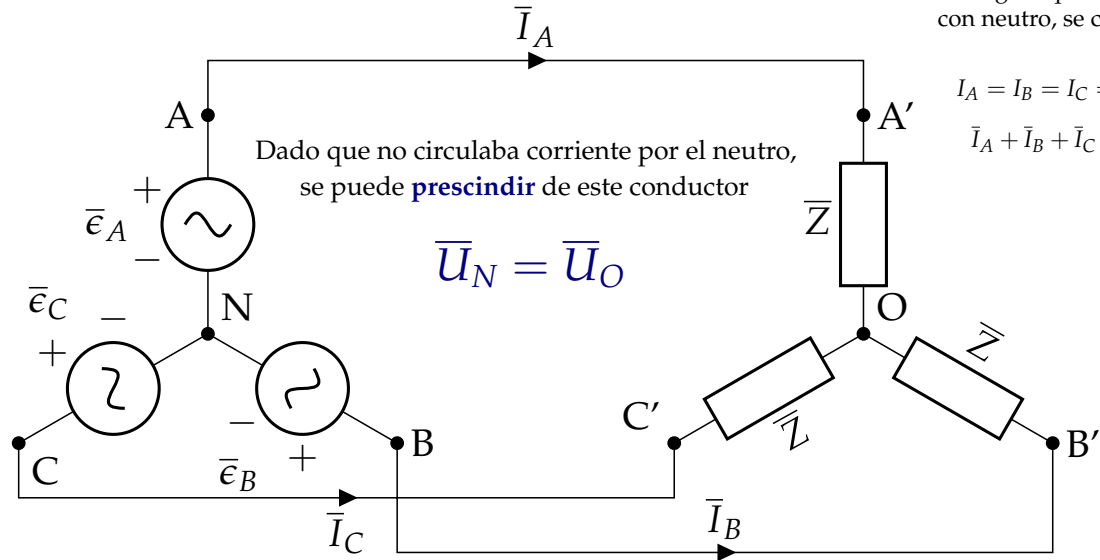
(en \sphericalangle , corriente de línea igual a la de fase)

Aplicando **1LK** en el punto común del receptor:

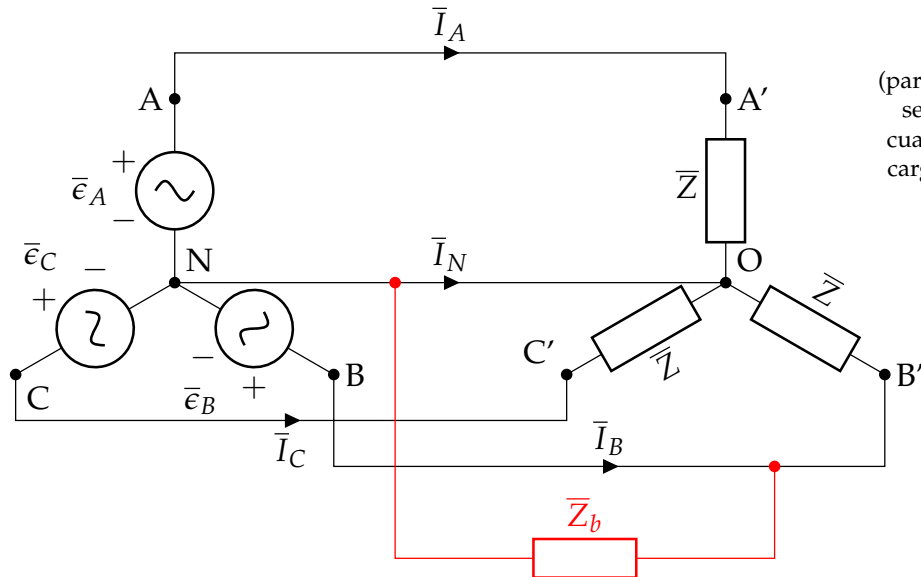
$$\bar{I}_A + \bar{I}_B + \bar{I}_C + \bar{I}_N = 0$$

$$\bar{I}_A + \bar{I}_B + \bar{I}_C = 0 \rightarrow \boxed{\bar{I}_N = 0}$$

Receptor en estrella equilibrado, sin neutro

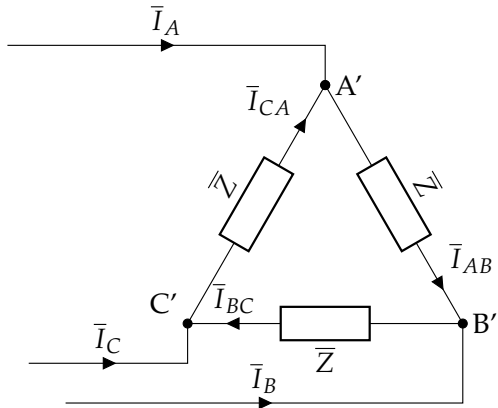


Receptor en estrella equilibrado, con carga monofásica



(para \bar{Z}_Δ equilibrado,
se incluye neutro
cuando convive con
cargas monofásicas,
e.g. edificios)

Receptor en triángulo equilibrado



$$\bar{I}_{AB} = \frac{\bar{U}_{AB}}{\bar{Z}} = \frac{U_L}{Z} \angle \pm 120^\circ - \theta$$

$$\bar{I}_{BC} = \frac{\bar{U}_{BC}}{\bar{Z}} = \frac{U_L}{Z} \angle 0 - \theta$$

$$\bar{I}_{CA} = \frac{\bar{U}_{CA}}{\bar{Z}} = \frac{U_L}{Z} \angle \mp 120^\circ - \theta$$

(signo de arriba
para **SFD**,
signo de abajo
para **SFI**)

(en Δ , tensión de línea igual a la de fase)

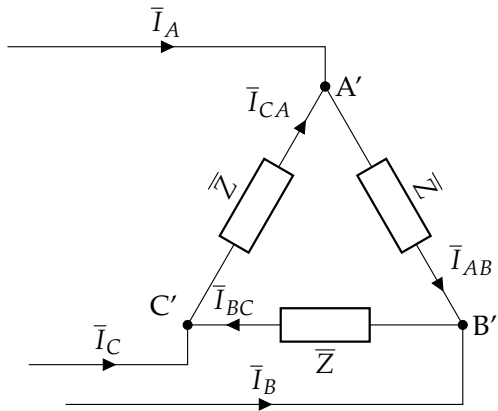
Por la misma razón que en la diapositiva 10:

$$\bar{I}_{AB} + \bar{I}_{BC} + \bar{I}_{CA} = 0$$

Corriente de **fase**:

$$I_f = I_{AB} = I_{BC} = I_{CA} = \frac{U_L}{Z}$$

Receptor en triángulo equilibrado



Para calcular las corrientes de línea, aplicamos **1LK** en cada nudo:

$$\bar{I}_A = \bar{I}_{AB} - \bar{I}_{CA} = \sqrt{3} \cdot \frac{U_L}{Z} \angle \pm 90^\circ - \theta$$

$$\bar{I}_B = \bar{I}_{BC} - \bar{I}_{AB} = \sqrt{3} \cdot \frac{U_L}{Z} \angle \mp 30^\circ - \theta$$

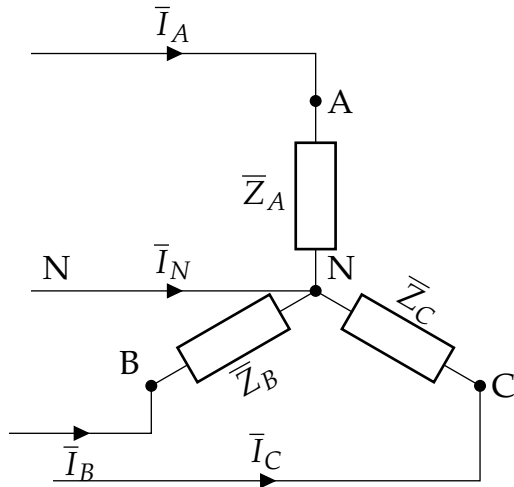
$$\bar{I}_C = \bar{I}_{CA} - \bar{I}_{BC} = \sqrt{3} \cdot \frac{U_L}{Z} \angle \mp 150^\circ - \theta$$

Corriente de **línea**:

$$I_L = I_A = I_B = I_C = \sqrt{3} \cdot \frac{U_L}{Z}$$

$$I_L = \sqrt{3} \cdot I_f$$

Receptor en estrella desequilibrado, con neutro



$$\bar{I}_A = \frac{\bar{U}_A}{\bar{Z}_A}$$

$$\bar{I}_B = \frac{\bar{U}_B}{\bar{Z}_B}$$

$$\bar{I}_C = \frac{\bar{U}_C}{\bar{Z}_C}$$

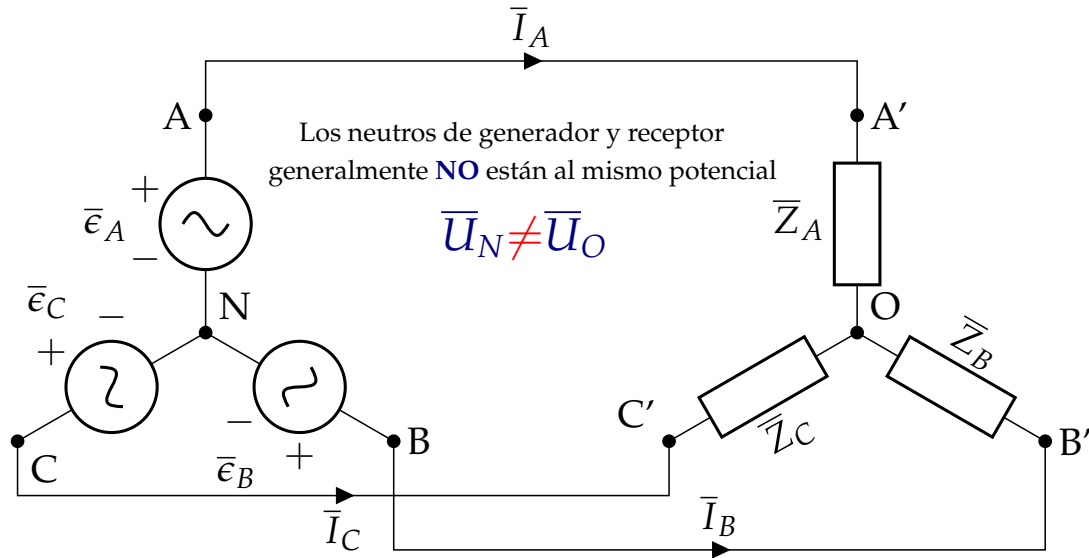
(cada corriente de fase/línea es **distinta**)

Aplicando **1LK** en el punto común del receptor:

$$\bar{I}_A + \bar{I}_B + \bar{I}_C + \bar{I}_N = 0$$

$$\bar{I}_A + \bar{I}_B + \bar{I}_C \neq 0 \rightarrow \boxed{\bar{I}_N \neq 0}$$

Receptor en estrella desequilibrado, sin neutro



Método del desplazamiento del neutro

Ecuaciones del receptor:

$$\bar{U}_{A'O} = \bar{I}_A \cdot \bar{Z}_A$$

$$\bar{U}_{B'O} = \bar{I}_B \cdot \bar{Z}_B$$

$$\bar{U}_{C'O} = \bar{I}_C \cdot \bar{Z}_C$$

Ecuación del nudo O:

$$\bar{I}_A + \bar{I}_B + \bar{I}_C = 0$$

Método del desplazamiento del neutro

Relacionamos las tensiones en el receptor con las tensiones del generador:

$$\bar{U}_{A'O} = \bar{U}_{AN} - \bar{U}_{ON}$$

$$\bar{U}_{B'O} = \bar{U}_{BN} - \bar{U}_{ON}$$

$$\bar{U}_{C'O} = \bar{U}_{CN} - \bar{U}_{ON}$$

Despejamos las corrientes teniendo en cuenta estas relaciones:

$$\bar{I}_A = \frac{\bar{U}_{AN} - \bar{U}_{ON}}{\bar{Z}_A}$$

$$\bar{I}_B = \frac{\bar{U}_{BN} - \bar{U}_{ON}}{\bar{Z}_B}$$

$$\bar{I}_C = \frac{\bar{U}_{CN} - \bar{U}_{ON}}{\bar{Z}_C}$$

Método del desplazamiento del neutro

Finalmente, usando la ecuación del nudo O despejamos la tensión U_{ON} (tensión de desplazamiento del neutro)*:

$$\bar{U}_{ON} = \frac{\bar{U}_{AN} \cdot \bar{Y}_A + \bar{U}_{BN} \cdot \bar{Y}_B + \bar{U}_{CN} \cdot \bar{Y}_C}{\bar{Y}_A + \bar{Y}_B + \bar{Y}_C}$$

Una vez calculada esta tensión \bar{U}_{ON} se pueden calcular las corrientes de línea:

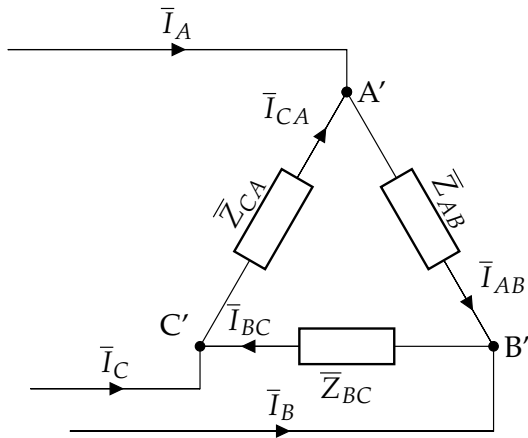
$$\bar{I}_A = (\bar{U}_{AN} - \bar{U}_{ON}) \cdot \bar{Y}_A$$

$$\bar{I}_B = (\bar{U}_{BN} - \bar{U}_{ON}) \cdot \bar{Y}_B$$

$$\bar{I}_C = (\bar{U}_{CN} - \bar{U}_{ON}) \cdot \bar{Y}_C$$

*Se puede llegar a este mismo resultado aplicando el teorema de Millman.

Receptor en triángulo desequilibrado



$$\bar{I}_{AB} = \frac{\bar{U}_{AB}}{\bar{Z}_{AB}}$$

$$\bar{I}_{BC} = \frac{\bar{U}_{BC}}{\bar{Z}_{BC}}$$

$$\bar{I}_{CA} = \frac{\bar{U}_{CA}}{\bar{Z}_{CA}}$$

(cada corriente de fase es **distinta**)

$$\bar{I}_A = \bar{I}_{AB} - \bar{I}_{CA}$$

$$\bar{I}_B = \bar{I}_{BC} - \bar{I}_{AB}$$

$$\bar{I}_C = \bar{I}_{CA} - \bar{I}_{BC}$$

(luego cada corriente de línea es **distinta**)

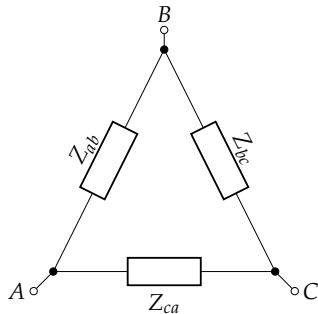
Resumen

Conexión del receptor	Tensiones	Corrientes
\curvearrowright equilibrado	$\sqrt{3} U_f = U_L$	$I_f = I_L$
\triangle equilibrado	$U_f = U_L$	$\sqrt{3} I_f = I_L$
\curvearrowright desequilibrado, con neutro	$\sqrt{3} U_f = U_L$	Deben calcularse para cada impedancia
\curvearrowright desequilibrado, sin neutro	Método del desplazamiento del neutro	
\triangle desequilibrado	$U_f = U_L$	Deben calcularse para cada impedancia

Nota: U_f en esta diapositiva se refiere a la tensión en cada fase del receptor (tensión en cada impedancia), **NO** a U_f del **generador en estrella**

Transformación de receptores

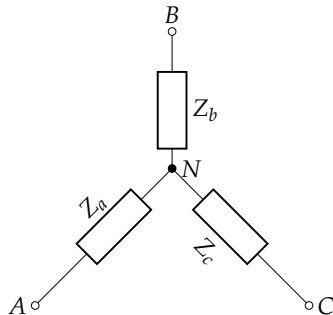
Triángulo a Estrella



$$\bar{Z}_a = \frac{\bar{Z}_{ab} \cdot \bar{Z}_{ca}}{\bar{Z}_{ab} + \bar{Z}_{bc} + \bar{Z}_{ca}}$$

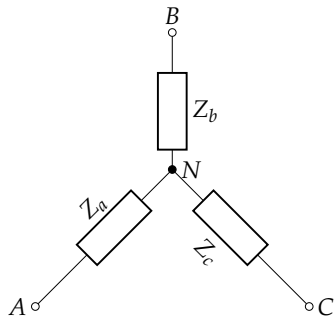
$$\bar{Z}_b = \frac{\bar{Z}_{bc} \cdot \bar{Z}_{ab}}{\bar{Z}_{ab} + \bar{Z}_{bc} + \bar{Z}_{ca}}$$

$$\bar{Z}_c = \frac{\bar{Z}_{ca} \cdot \bar{Z}_{bc}}{\bar{Z}_{ab} + \bar{Z}_{bc} + \bar{Z}_{ca}}$$



Transformación de receptores

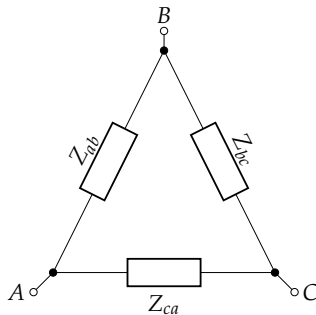
Estrella a Triángulo



$$\bar{Y}_{ab} = \frac{\bar{Y}_a \bar{Y}_b}{\bar{Y}_a + \bar{Y}_b + \bar{Y}_c}$$

$$\bar{Y}_{bc} = \frac{\bar{Y}_b \bar{Y}_c}{\bar{Y}_a + \bar{Y}_b + \bar{Y}_c}$$

$$\bar{Y}_{ca} = \frac{\bar{Y}_c \bar{Y}_a}{\bar{Y}_a + \bar{Y}_b + \bar{Y}_c}$$



- ① Generadores
- ② Receptores
- ③ Potencia en sistemas trifásicos
- ④ Conversión de fuentes reales
- ⑤ Estudio generalizado de los sistemas trifásicos

Receptor en estrella equilibrado

Por el T^a de **Boucherot**:

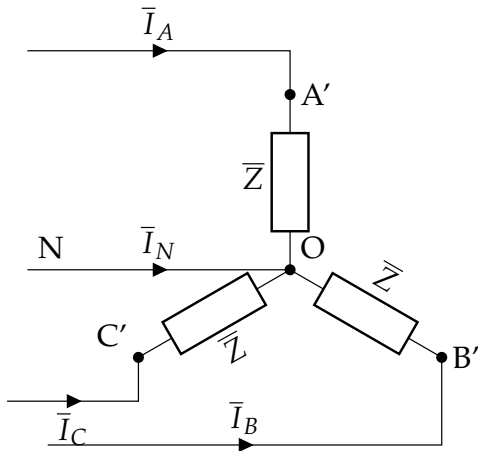
$$P = 3 \cdot P_Z = 3 \cdot U_f \cdot I_f \cdot \cos(\theta)$$

$$Q = 3 \cdot Q_Z = 3 \cdot U_f \cdot I_f \cdot \sin(\theta)$$

Relaciones en conexión \star :

$$I_f = I_L$$

$$U_f = \frac{U_L}{\sqrt{3}}$$



$$P = 3 \cdot U_f \cdot I_f \cdot \cos(\theta) = \sqrt{3} \cdot U_L \cdot I_L \cdot \cos(\theta)$$

$$Q = 3 \cdot U_f \cdot I_f \cdot \sin(\theta) = \sqrt{3} \cdot U_L \cdot I_L \cdot \sin(\theta)$$

$$S = \sqrt{P^2 + Q^2} = 3 \cdot U_f \cdot I_f = \sqrt{3} \cdot U_L \cdot I_L$$

Receptor en triángulo equilibrado

Por el T^a de **Boucherot**:

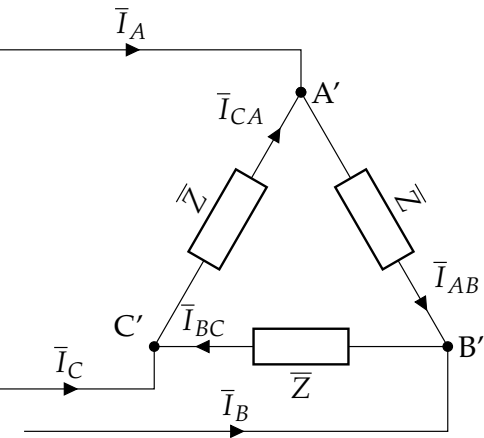
$$P = 3 \cdot P_Z = 3 \cdot U_f \cdot I_f \cdot \cos(\theta)$$

$$Q = 3 \cdot Q_Z = 3 \cdot U_f \cdot I_f \cdot \sin(\theta)$$

Relaciones en conexión Δ :

$$I_f = \frac{I_L}{\sqrt{3}}$$

$$U_f = U_L$$



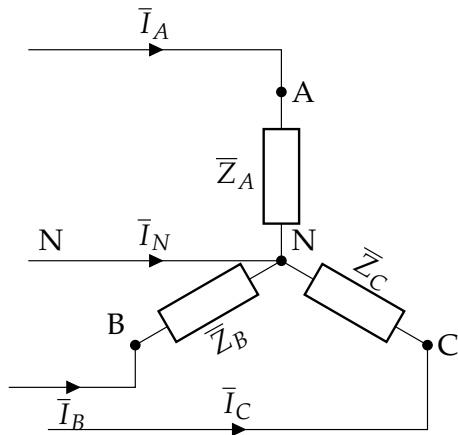
$$P = 3 \cdot U_f \cdot I_f \cdot \cos(\theta) = \sqrt{3} \cdot U_L \cdot I_L \cdot \cos(\theta)$$

$$Q = 3 \cdot U_f \cdot I_f \cdot \sin(\theta) = \sqrt{3} \cdot U_L \cdot I_L \cdot \sin(\theta)$$

$$S = \sqrt{P^2 + Q^2} = 3 \cdot U_f \cdot I_f = \sqrt{3} \cdot U_L \cdot I_L$$

(**mismas expresiones** que para \star equilibrado)

Receptor en estrella desequilibrado



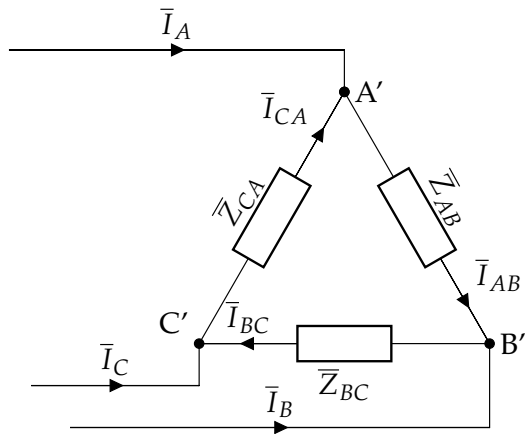
La **potencia** en cada fase puede ser **distinta**, luego hay que calcular cada una y aplicar el T^a de Boucherot:

$$P = P_A + P_B + P_C$$

$$Q = Q_A + Q_B + Q_C$$

$$\bar{S} = P + jQ$$

Receptor en triángulo desequilibrado



La **potencia** en cada fase puede ser **distinta**, luego hay que calcular cada una y aplicar el T^a de Boucherot:

$$P = P_{AB} + P_{BC} + P_{CA}$$

$$Q = Q_{AB} + Q_{BC} + Q_{CA}$$

$$\bar{S} = P + jQ$$

① Generadores

② Receptores

③ Potencia en sistemas trifásicos

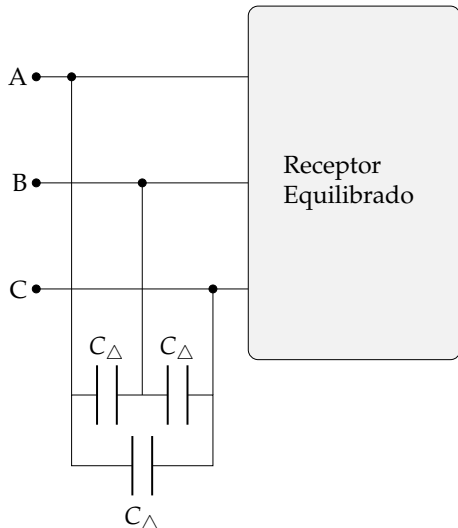
Compensación de reactiva

Medida de potencia

④ Conversión de fuentes reales

⑤ Estudio generalizado de los sistemas trifásicos

Conexión de condensadores en triángulo



Independientemente de si el receptor está conectado en \star o en \triangle :

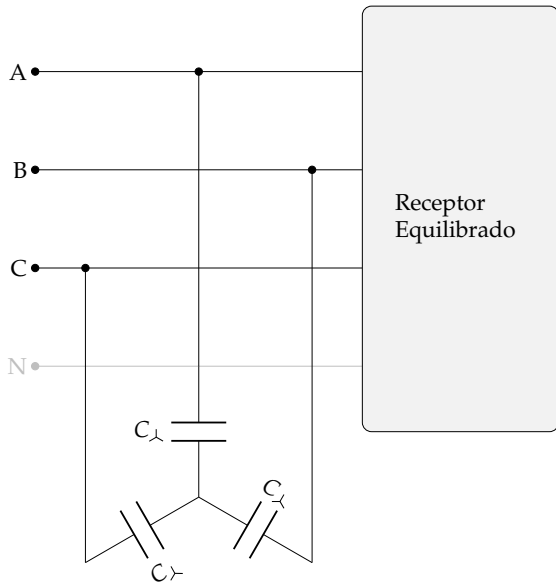
$$Q = P \cdot \tan \theta$$

$$Q' = P \cdot \tan \theta' = Q - Q_c$$

$$Q_c = \underbrace{3}_{\text{Boucherot}} \cdot \omega C_\Delta \cdot \mathbf{u}_L^2$$

$$C_\Delta = \frac{P \cdot (\tan \theta - \tan \theta')}{\mathbf{3} \cdot \omega U_L^2}$$

Conexión de condensadores en estrella



Independientemente de si el receptor está conectado en \star o en \triangle :

$$Q = P \cdot \tan \theta$$

$$Q' = P \cdot \tan \theta' = Q - Q_c$$

$$Q_c = \underbrace{3}_{\text{Boucherot}} \cdot \omega C_{\star} \cdot \mathbf{U_f}^2 = \mathfrak{Z} \cdot \omega C_{\star} \cdot \left(\frac{U_L}{\sqrt{3}} \right)^2$$

$$C_{\star} = \frac{P \cdot (\tan \theta - \tan \theta')}{\omega U_L^2}$$

(la **capacidad necesaria** en \star es
3 veces mayor que en \triangle)

① Generadores

② Receptores

③ Potencia en sistemas trifásicos

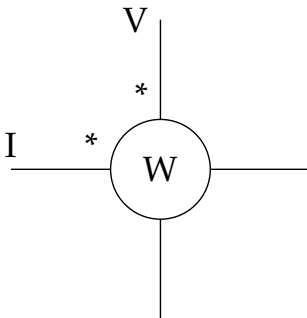
Compensación de reactiva

Medida de potencia

④ Conversión de fuentes reales

⑤ Estudio generalizado de los sistemas trifásicos

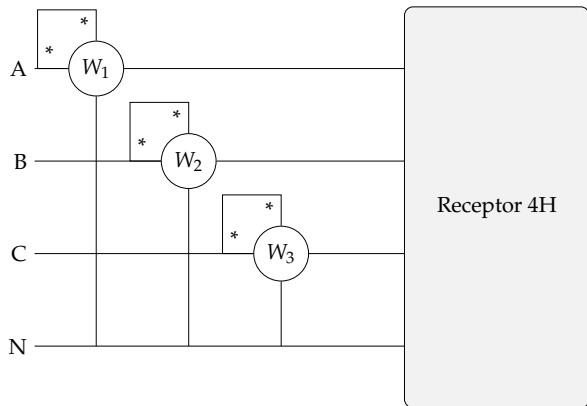
Recordatorio: vatímetro



Equipo de medida de **4 terminales** (un par para tensión, un par para corriente)

$$W = \underbrace{\bar{I} \bullet \bar{U}}_{\text{producto escalar}} = I \cdot U \cdot \cos(\widehat{\bar{I}, \bar{U}}) = \underbrace{\Re(\bar{U} \cdot \bar{I}^*)}_{\text{potencia aparente}}$$

Sistema a 4 hilos (4H), caso general



En el caso general, el receptor puede ser **desequilibrado** → **potencia distinta** en cada fase

Necesarios **3 vatímetros**, uno por fase:

$$W_1 = \Re(\bar{U}_A \cdot \bar{I}_A^*) = P_A$$

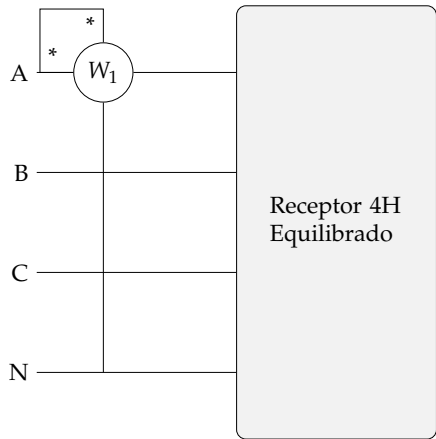
$$W_2 = \Re(\bar{U}_B \cdot \bar{I}_B^*) = P_B$$

$$W_3 = \Re(\bar{U}_C \cdot \bar{I}_C^*) = P_C$$

Por el T^a de **Boucherot**:

$$P = W_1 + W_2 + W_3$$

Sistema a 4 hilos (4H), caso equilibrado



En el caso de un receptor **equilibrado**
→ **misma potencia** en todas las fases

Basta con **1 vatímetro**:

$$P_A = P_B = P_C$$

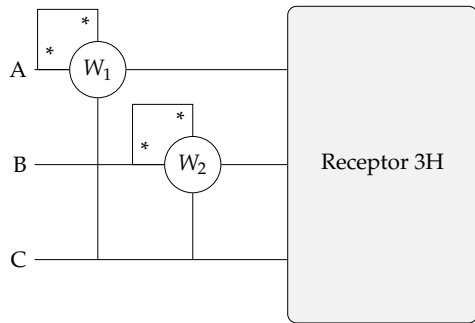
Por el T^a de **Boucherot**:

$$P = 3 \cdot W_1$$

Sistema a 3 hilos (3H)

NO es posible usar **3 vatímetros**, porque no es posible medir P en cada Z **por separado**:

- ▶ Si el **receptor** está conectado en Y : no es posible medir la **tensión de fase**
- ▶ Si el **receptor** está conectado en Δ : no es posible medir la **corriente de fase**



Pero **existe un método** para medida de potencia en sistemas a 3 hilos

- ▶ Válido tanto para receptores en Y como en Δ , equilibrados o desequilibrados

El “método de los **2 vatímetros**”,
o “montaje de **Aron**”

$$P = W_1 + W_2$$

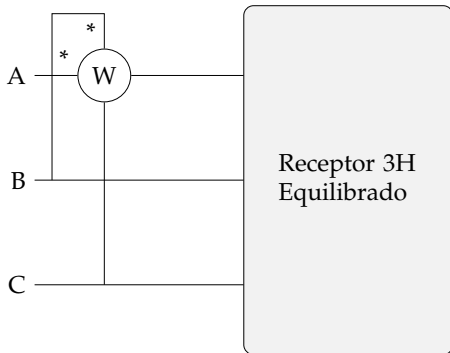
(**demonstración** en TC I)

Resumen, medida de potencia en sistemas trifásicos

Conexión del receptor	Nº de vatímetros necesarios
\swarrow a 4 hilos (con neutro), equilibrado	1
\swarrow a 4 hilos (con neutro), desequilibrado	3
\swarrow a 3 hilos (sin neutro), equilibrado o desequilibrado	2 (montaje de Aron)
\triangle equilibrado o desequilibrado , (\triangle implica 3 hilos)	2 (montaje de Aron)

Medida de reactiva con 1 vatímetro (sistemas equilibrados)

- ▶ En el caso particular de un **receptor equilibrado** a 3 hilos, también es posible medir **potencia reactiva** con un único vatímetro
- ▶ Demostración en TC I



Resumen, potencia en receptores equilibrados a 3 hilos

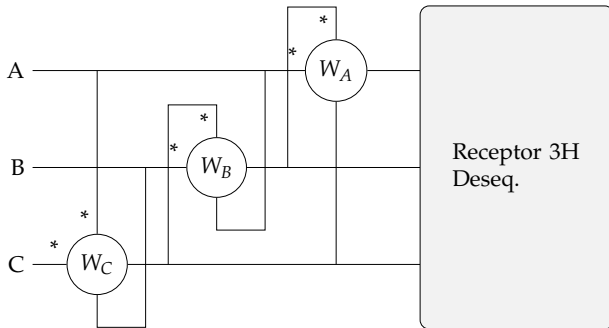
Método de los **2 vatímetros** (o “montaje de Aron”)

- ▶ Permite medir P y $\frac{Q}{\sqrt{3}}$ (importante recordar el factor $\sqrt{3}$ en Q)
- ▶ **Cuidado** con el **signo** de Q :
depende de la **conexión** de los vatímetros y de la **secuencia de fases** (SFD o SFI)
(**regla mnemotécnica** en TC I)

Medida de **reactiva** con **1 vatímetro**

- ▶ Debe medir **una corriente de línea** y la **tensión entre las otras dos** líneas
- ▶ Importante recordar el factor $\sqrt{3}$ en Q
- ▶ **Cuidado** con el **signo** de Q :
depende de la **conexión** y de la **secuencia de fases** (**regla** en TC I)

Medida de la reactiva con receptor desequilibrado



$$W_A = \Re(\bar{U}_{BC} \cdot \bar{I}_A^*)$$

$$W_B = \Re(\bar{U}_{CA} \cdot \bar{I}_B^*)$$

$$W_C = \Re(\bar{U}_{AB} \cdot \bar{I}_C^*)$$

$$\bar{U}_{AB} = \pm\sqrt{3} \cdot \bar{U}_C \cdot e^{j\pi/2}$$

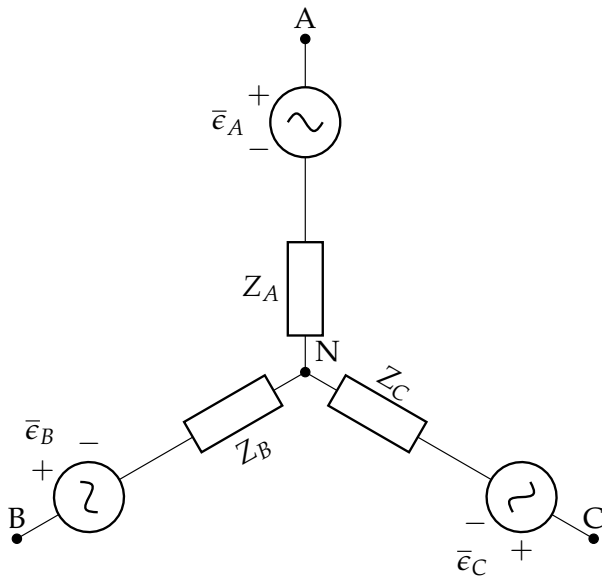
$$\bar{U}_{BC} = \pm\sqrt{3} \cdot \bar{U}_A \cdot e^{j\pi/2}$$

$$\bar{U}_{CA} = \pm\sqrt{3} \cdot \bar{U}_B \cdot e^{j\pi/2}$$

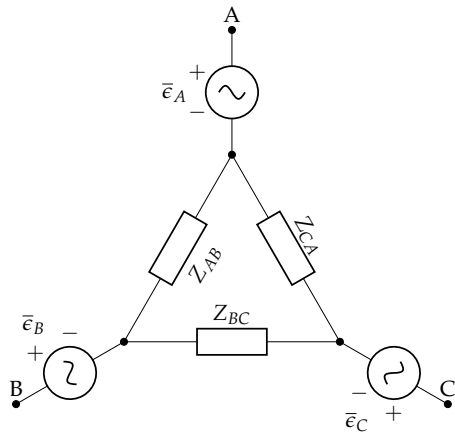
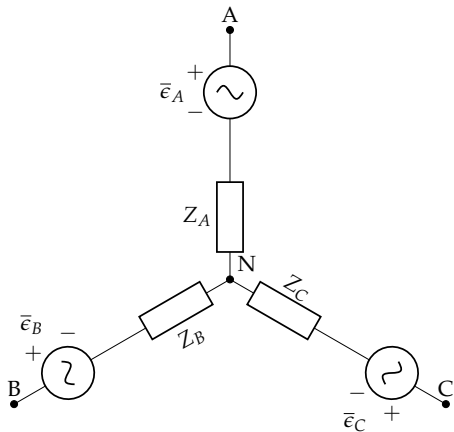
$$W_A + W_B + W_C = \pm Q / \sqrt{3}$$

- ① Generadores
- ② Receptores
- ③ Potencia en sistemas trifásicos
- ④ Conversión de fuentes reales**
- ⑤ Estudio generalizado de los sistemas trifásicos

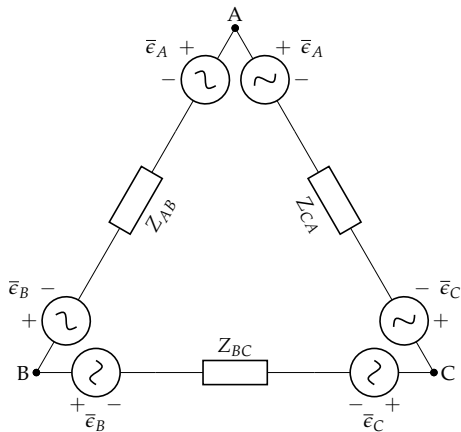
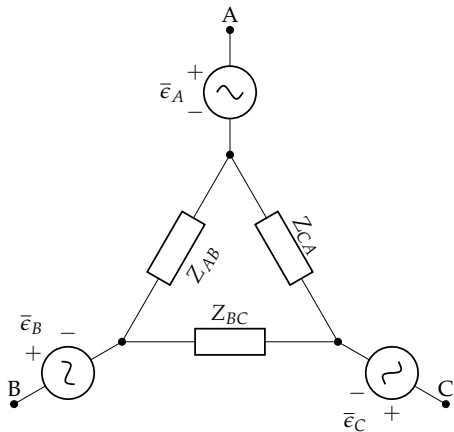
Estrella a Triángulo



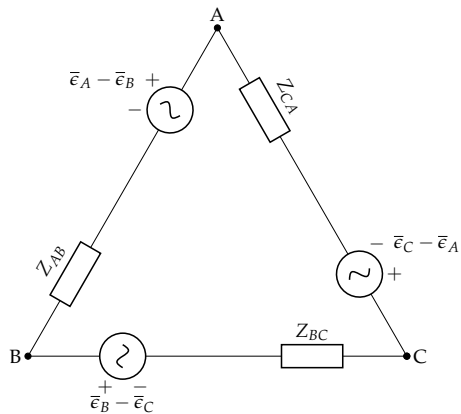
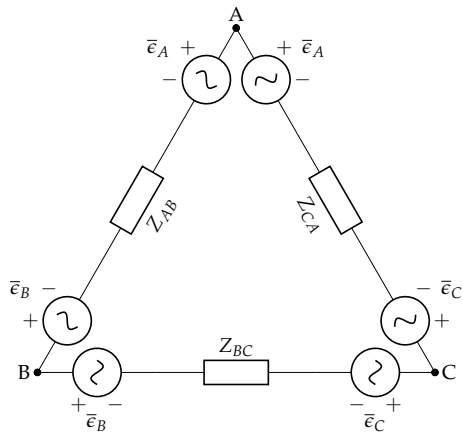
Transformamos impedancia



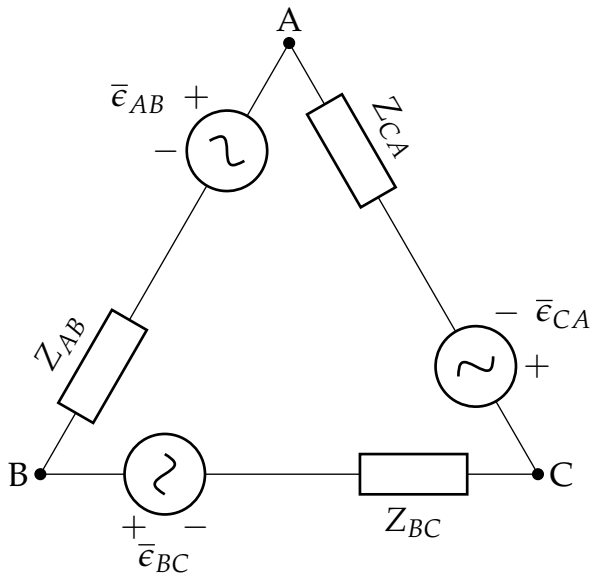
Aplicamos movilidad de fuentes



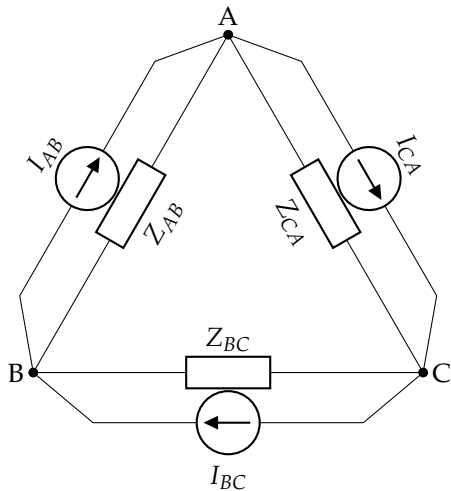
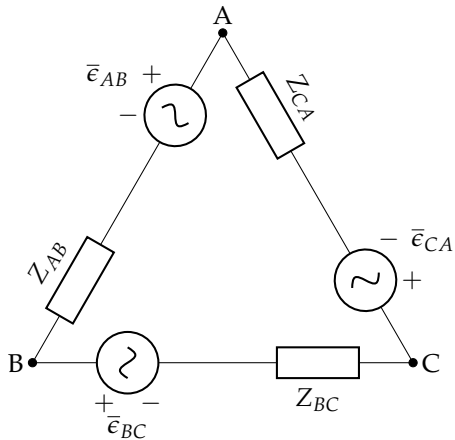
Asociamos fuentes



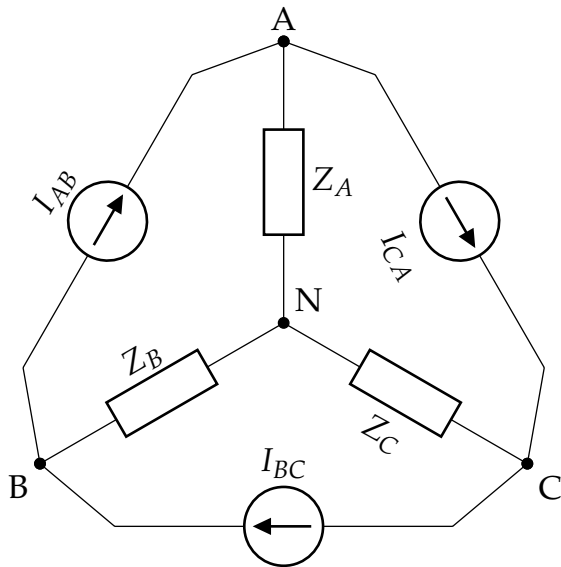
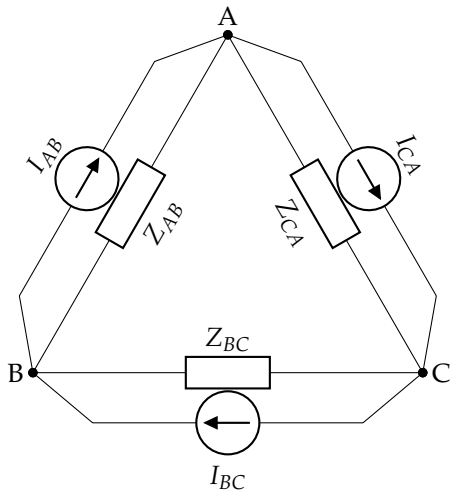
Triângulo a Estrela



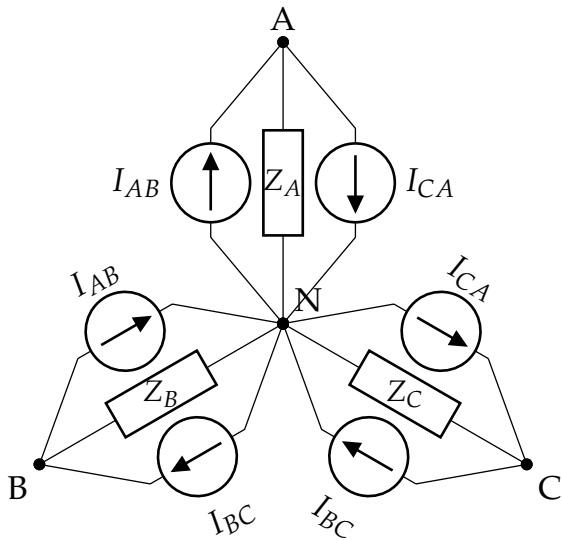
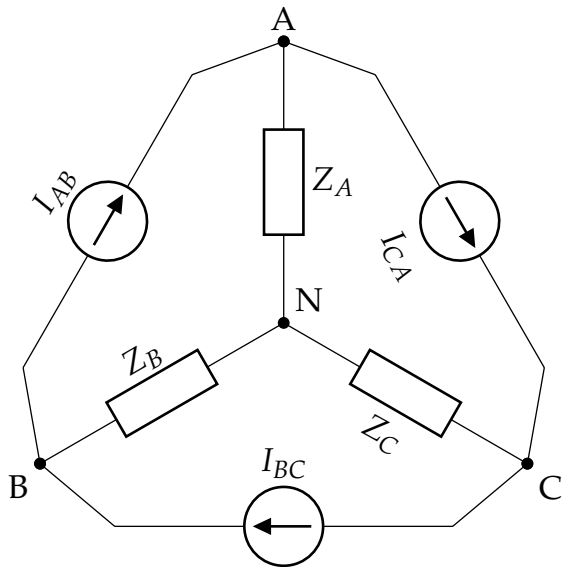
Transformamos fuentes



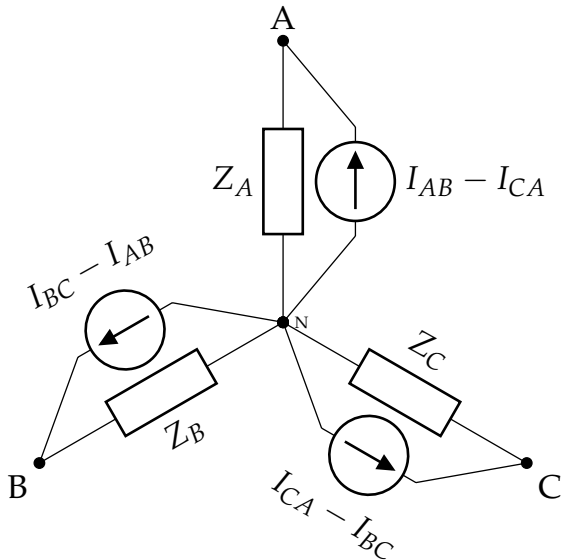
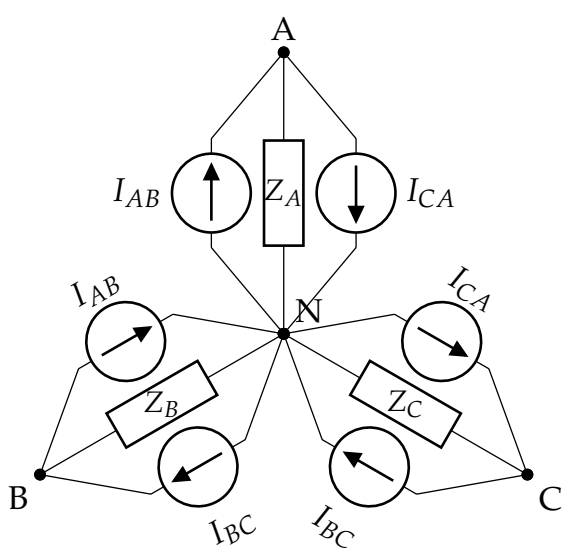
Transformamos impedancias



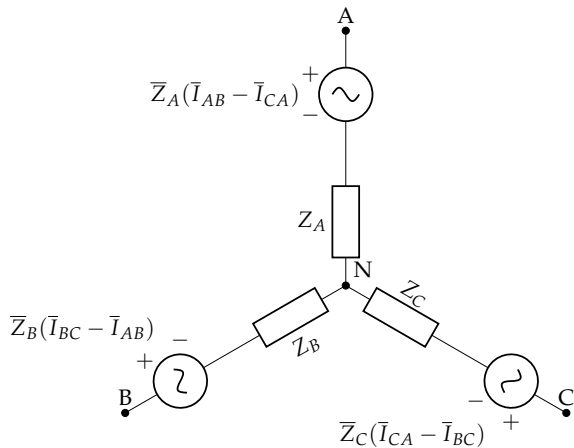
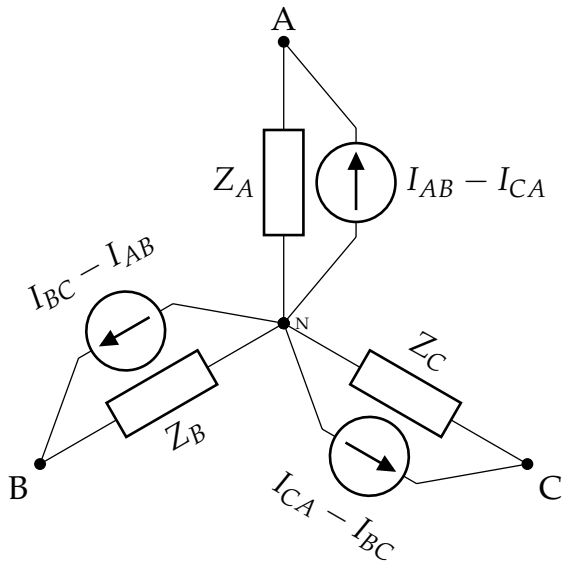
Aplicamos movilidad de fuentes



Asociamos fuentes

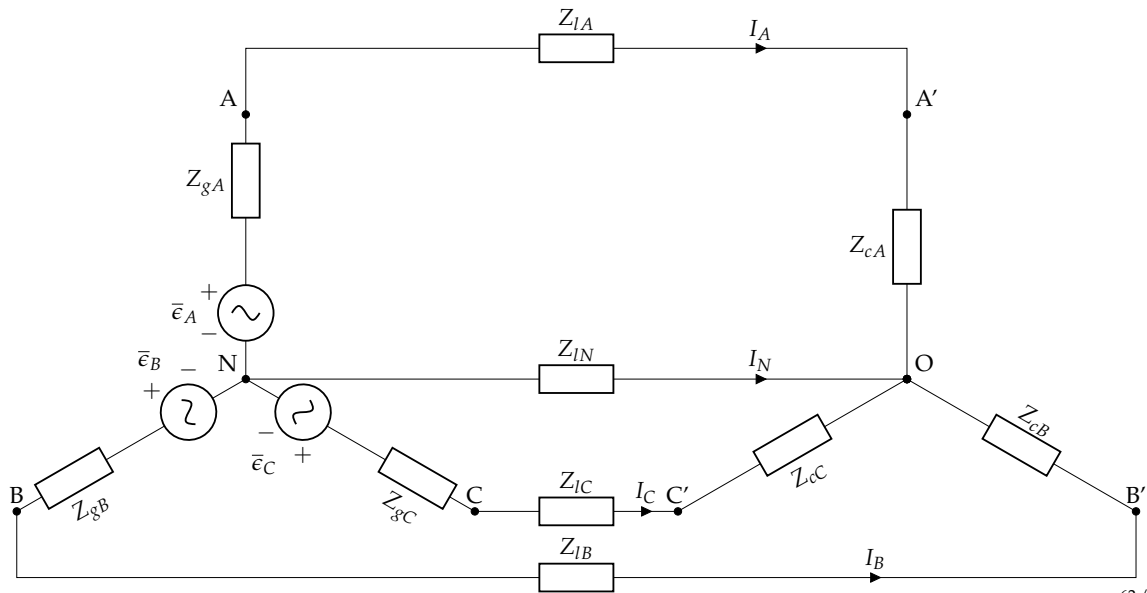


Transformamos fuentes

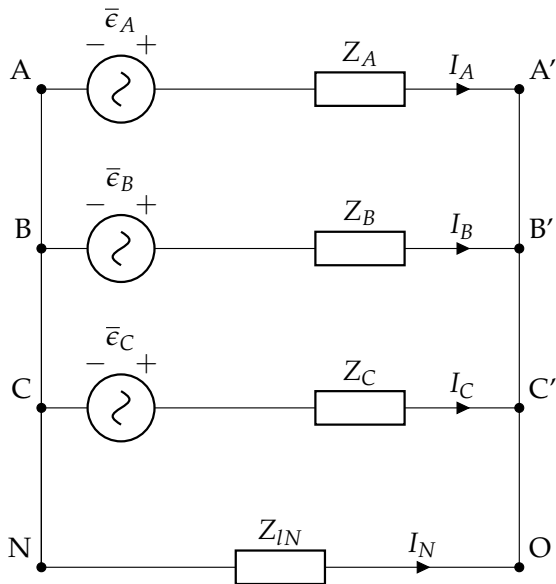


- ① Generadores
- ② Receptores
- ③ Potencia en sistemas trifásicos
- ④ Conversión de fuentes reales
- ⑤ Estudio generalizado de los sistemas trifásicos

Planteamiento del sistema



Agrupamos impedancias de generador, línea y receptor

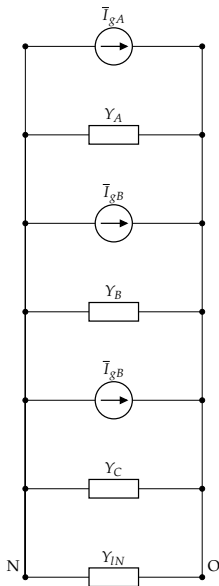


$$\bar{Z}_A = \bar{Z}_{gA} + \bar{Z}_{lA} + \bar{Z}_{cA}$$

$$\bar{Z}_B = \bar{Z}_{gB} + \bar{Z}_{lB} + \bar{Z}_{cB}$$

$$\bar{Z}_C = \bar{Z}_{gC} + \bar{Z}_{lC} + \bar{Z}_{cC}$$

Conversión de fuentes



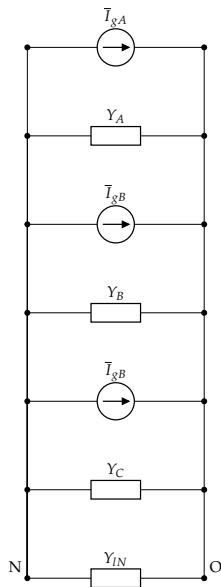
$$\bar{I}_{gA} = \bar{\epsilon}_A \cdot \bar{Y}_A$$

$$\bar{I}_{gB} = \bar{\epsilon}_B \cdot \bar{Y}_B$$

$$\bar{I}_{gC} = \bar{\epsilon}_C \cdot \bar{Y}_C$$

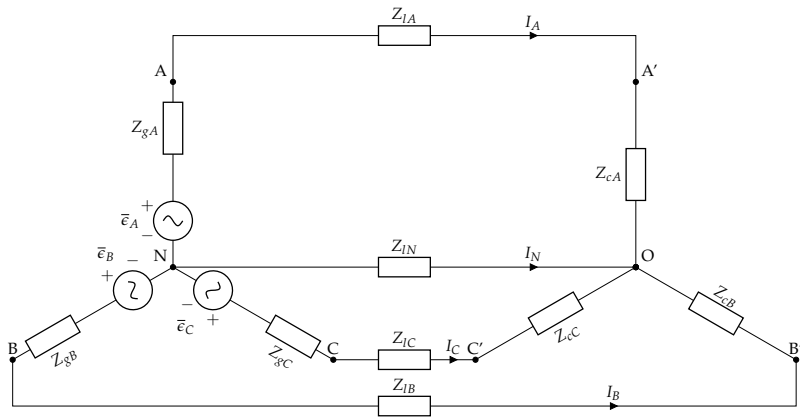
$$\bar{U}_{ON} = \frac{\bar{I}_{gA} + \bar{I}_{gB} + \bar{I}_{gC}}{\bar{Y}_A + \bar{Y}_B + \bar{Y}_C + \bar{Y}_{IN}}$$

Tensión de desplazamiento del neutro



$$\bar{U}_{ON} = \frac{\bar{\epsilon}_{gA} \cdot \bar{Y}_A + \bar{\epsilon}_{gB} \cdot \bar{Y}_B + \bar{\epsilon}_{gC} \cdot \bar{Y}_C}{\bar{Y}_A + \bar{Y}_B + \bar{Y}_C + \bar{Y}_{IN}}$$

Cálculo de corrientes



$$\bar{I}_A = \frac{\bar{e}_A - \bar{U}_{ON}}{\bar{Z}_{gA} + \bar{Z}_{lA} + \bar{Z}_{cA}}$$

$$\bar{I}_B = \frac{\bar{e}_B - \bar{U}_{ON}}{\bar{Z}_{gB} + \bar{Z}_{lB} + \bar{Z}_{cB}}$$

$$\bar{I}_C = \frac{\bar{e}_C - \bar{U}_{ON}}{\bar{Z}_{gC} + \bar{Z}_{lC} + \bar{Z}_{cC}}$$

$$\bar{I}_N = -\bar{I}_A - \bar{I}_B - \bar{I}_C$$

Aplicación a sistemas equilibrados

La suma de las fuerzas electromotrices es 0

$$\bar{\epsilon}_{gA} + \bar{\epsilon}_{gB} + \bar{\epsilon}_{gC} = 0$$

Las tres impedancias son iguales

$$\bar{Y}_A = \bar{Y}_B = \bar{Y}_C$$

Por tanto,

$$\bar{U}_{ON} = \frac{3 \cdot \bar{Y} \cdot (\bar{\epsilon}_{gA} + \bar{\epsilon}_{gB} + \bar{\epsilon}_{gC})}{3 \cdot \bar{Y} + \bar{Y}_{IN}} = 0$$

Este resultado es independiente de la existencia del neutro y de su impedancia.

Aplicación a sistemas desequilibrados

- Sistemas con neutro de impedancia no nula

$$\bar{U}_{ON} = \frac{\bar{\epsilon}_{gA} \cdot \bar{Y}_A + \bar{\epsilon}_{gB} \cdot \bar{Y}_B + \bar{\epsilon}_{gC} \cdot \bar{Y}_C}{\bar{Y}_A + \bar{Y}_B + \bar{Y}_C + \bar{Y}_{IN}}$$

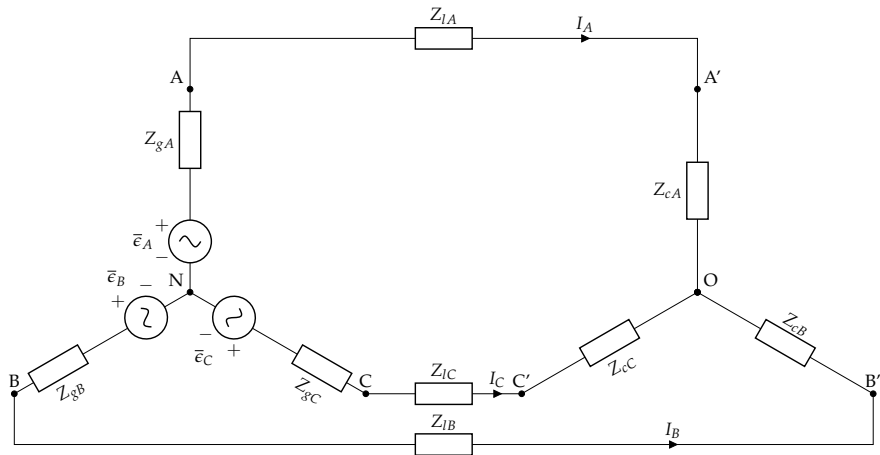
- Sistemas con neutro de impedancia nula ($\bar{Z}_{IN} = 0$, $\bar{Y}_{IN} \rightarrow \infty$)

$$\bar{U}_{ON} = \frac{\bar{\epsilon}_{gA} \cdot \bar{Y}_A + \bar{\epsilon}_{gB} \cdot \bar{Y}_B + \bar{\epsilon}_{gC} \cdot \bar{Y}_C}{\bar{Y}_A + \bar{Y}_B + \bar{Y}_C + \bar{Y}_{IN}} = 0$$

- Sistemas sin neutro ($\bar{Z}_{IN} \rightarrow \infty$, $\bar{Y}_{IN} = 0$)

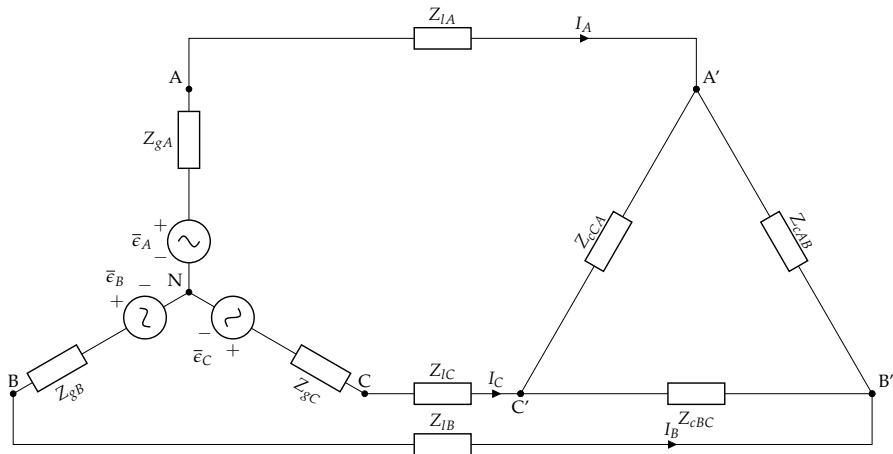
$$\bar{U}_{ON} = \frac{\bar{\epsilon}_{gA} \cdot \bar{Y}_A + \bar{\epsilon}_{gB} \cdot \bar{Y}_B + \bar{\epsilon}_{gC} \cdot \bar{Y}_C}{\bar{Y}_A + \bar{Y}_B + \bar{Y}_C}$$

Sistema sin neutro



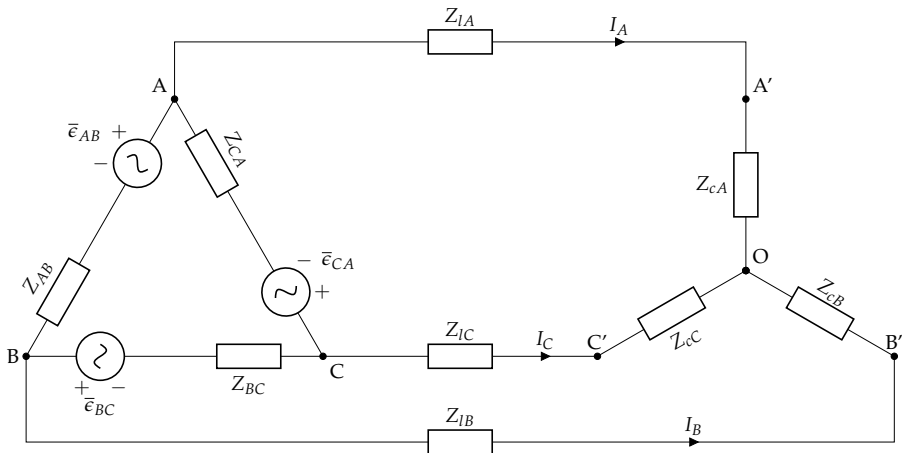
$$Z_{lN} \rightarrow \infty \} \longrightarrow \bar{U}_{ON} = \frac{\bar{e}_{gA} \cdot \bar{Y}_A + \bar{e}_{gB} \cdot \bar{Y}_B + \bar{e}_{gC} \cdot \bar{Y}_C}{\bar{Y}_A + \bar{Y}_B + \bar{Y}_C}$$

Receptor en triángulo



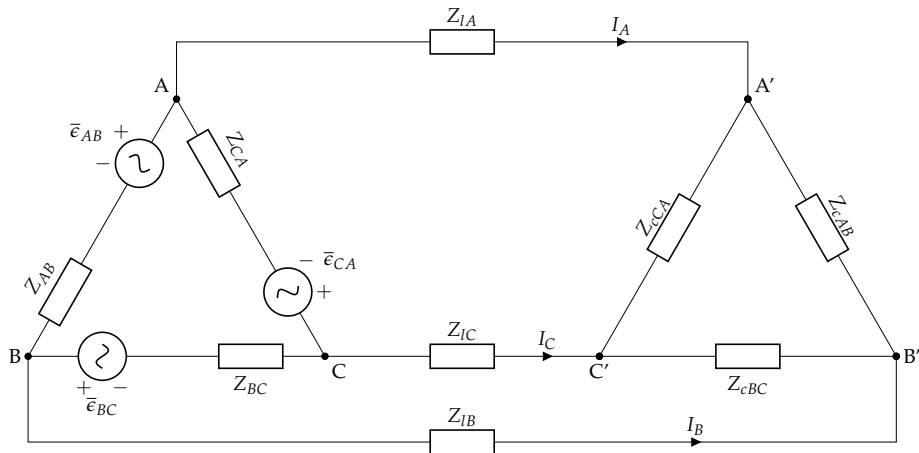
$$\left. \begin{array}{l} \text{Transformación de Receptor} \\ Z_{lN} \rightarrow \infty \end{array} \right\} \rightarrow \bar{U}_{ON} = \frac{\bar{e}_{gA} \cdot \bar{Y}_A + \bar{e}_{gB} \cdot \bar{Y}_B + \bar{e}_{gC} \cdot \bar{Y}_C}{\bar{Y}_A + \bar{Y}_B + \bar{Y}_C}$$

Generador en triángulo



$$\left. \begin{array}{l} \text{Transformación de Generador} \\ Z_{IN} \rightarrow \infty \end{array} \right\} \rightarrow \bar{U}_{ON} = \frac{\bar{e}_{gA} \cdot \bar{Y}_A + \bar{e}_{gB} \cdot \bar{Y}_B + \bar{e}_{gC} \cdot \bar{Y}_C}{\bar{Y}_A + \bar{Y}_B + \bar{Y}_C}$$

Generador y Receptor en triángulo



Transformación de Generador
 Transformación de Receptor
 $Z_{lN} \rightarrow \infty$

$$\rightarrow \bar{U}_{ON} = \frac{\bar{e}_{gA} \cdot \bar{Y}_A + \bar{e}_{gB} \cdot \bar{Y}_B + \bar{e}_{gC} \cdot \bar{Y}_C}{\bar{Y}_A + \bar{Y}_B + \bar{Y}_C}$$